

Confecção de um Shield para a Galileo Gen 2 para o Acionamento das Juntas e Leitura dos Sensores do Robô 2DSFJE

Arthur Ribeiro¹, Daniel Cunha¹, Matheus Tura¹

¹Instituto de Informática – Universidade Federal do Rio Grande do Sul (UFRGS)
Caixa Postal 15.064 – 91.501-970 – Porto Alegre – RS – Brazil

{aribeiro, dmcunha, mttura}@inf.ufrgs.br

Resumo. *Este documento descreve o processo para a criação de um shield para a placa Intel Galileo Gen 2. Este hardware é capaz de acionar o motor e ler os sensores presentes no robô Quanser 2DSFJE. Ao longo do documento será descrito o processo de todas as etapas de desenvolvimento deste hardware, desde de sua etapa inicial de concepção até a etapa final de implementação.*

1. Introdução

O projeto proposto consiste no desenvolvimento e confecção de um shield para a Intel Galileo Gen 2, o shield deve ser capaz de acionar uma das juntas do robô Quanser 2DSFJE, a junta possui um motor com encoder, para o acionamento é necessário fornecer uma tensão entre -27 e 27 volts, o shield deve implementar uma ponte h que controla o valor médio desta tensão através de um sinal pwm. O ciclo de trabalho deste pwm representa o sentido e velocidade do movimento do motor, onde o ciclo de trabalho em 0% corresponde ao motor girando em velocidade máxima em um sentido, o ciclo de trabalho em 50% corresponde ao motor parado, o ciclo de trabalho em 100% corresponde ao motor girando em velocidade máxima no sentido contrário. O encoder do Quanser também deve ser decodificado pelo shield, para decodificar quadratura, foi utilizado um circuito integrado decodificador de quadratura, para que não haja erro na contagem e consequentemente dados inconsistentes.

Concomitantemente com o desenvolvimento do shield, deve-se desenvolver um software que implemente um controlador PID. O software deve incluir uma biblioteca com uma API. Com a API deve ser possível ler o valor do encoder em radianos, comandar do motor em Volts e a leitura do sensor de fim de curso. A biblioteca deve ser desenvolvida para executar no Linux como um programa no espaço de usuário, sem privilégios de superusuário. Os próximos capítulos detalharão o funcionamento do hardware e do software desenvolvido.

2. Hardware

Para possibilitar o controle a junta do Quanser utilizando a Galileo Gen 2, se desenvolveu um shield utilizando uma placa de circuito impresso. O shield possui dois circuitos distintos, um deles implementa uma ponte H que possui toda parte de alta potencia do shield, o outro circuito implementa o decodificador de quadratura.

Além disso, para maior parte do circuito foi optado por componentes SMD, devido ao seu menor tamanho e também menores problemas de mal contato, e praticidade na hora

da soldagem. O tamanho escolhido de SMDS para capacitores, resistores e LEDs foi de 0805, não foi escolhido abaixo deste tamanho, pois abaixo desse tamanho a dificuldade de solda poderia aumentar consideravelmente.

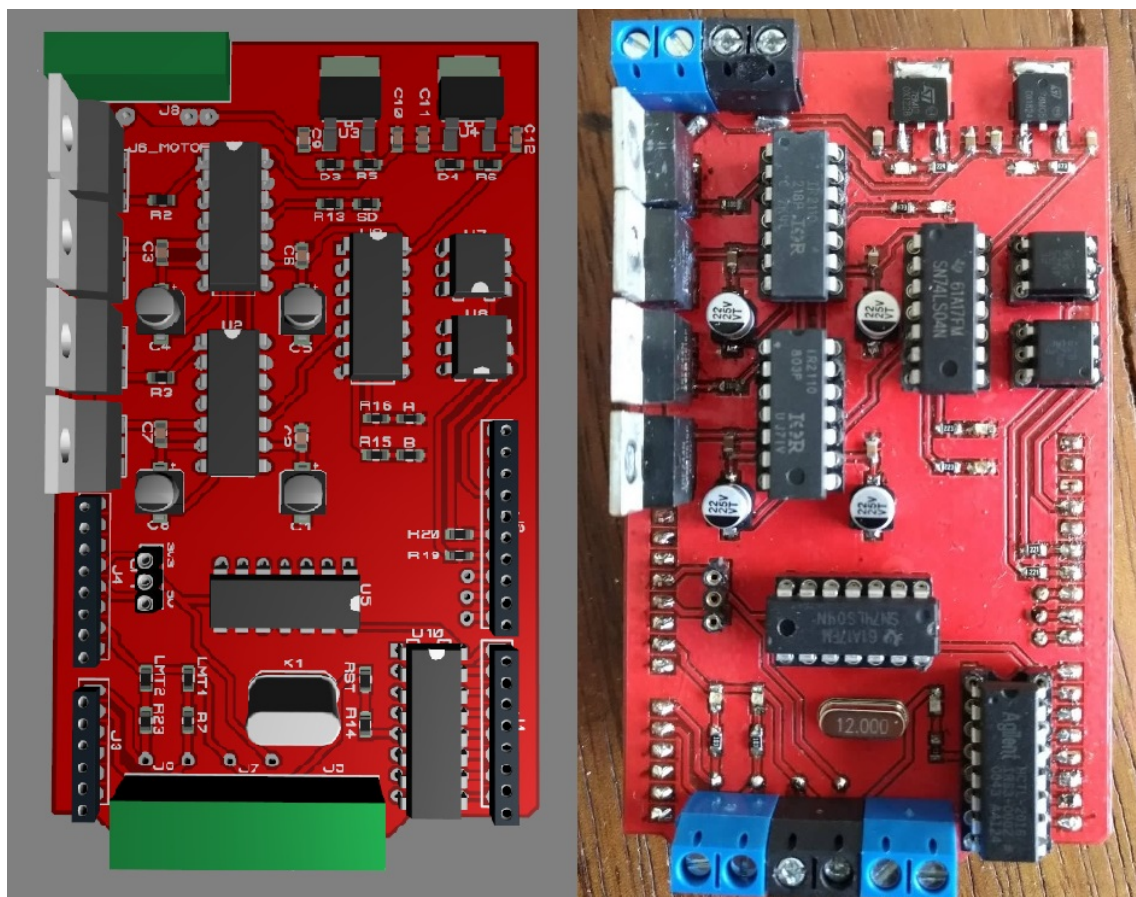


Figura 1. Ao lado esquerdo, simulação, ao direito, shield físico

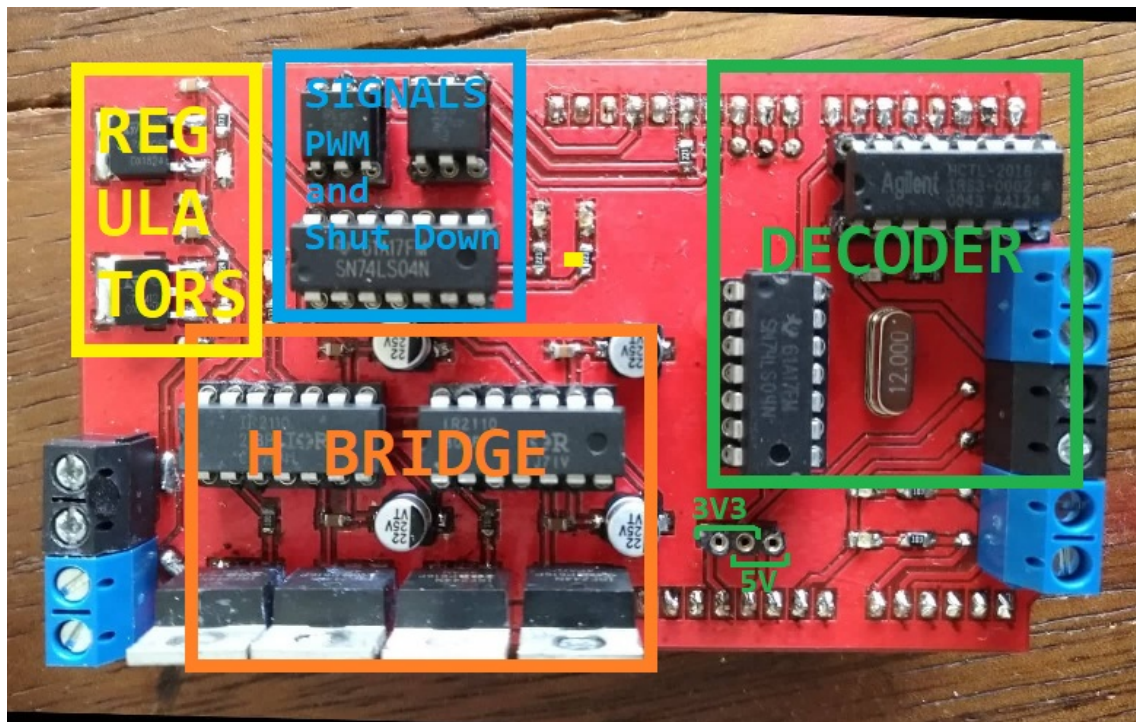


Figura 2. Blocos básicos

3. Alimentação e Reguladores

A Ponte H necessita de alimentação de 5V para controle lógico, e 12V para carregamento dos capacitores de bootstrap, para isso, um regulador LM7805 foi utilizado para gerar os 5V e um LM7812 para gerar os 12V. o Regulador LM7812 tem seu input conectado com o terminal de 27V da fonte Quanser, enquanto, para fins de reduzir a queda de tensão do LM7805, este tem seu input conectado na saída do LM7812. A corrente que passa LM7812 é a corrente dos capacitores, mais a corrente do LM7805, que tem sua maior potência gasta com LEDs. Logo, devido a baixa corrente, foi escolhido componentes reguladores em SMD, com sua dissipação no plano terra, visto que como receberiam pouca corrente, esquentariam pouco.

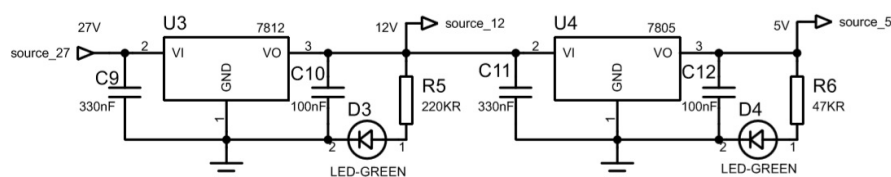


Figura 3. Reguladores de tensão 12V e 5V

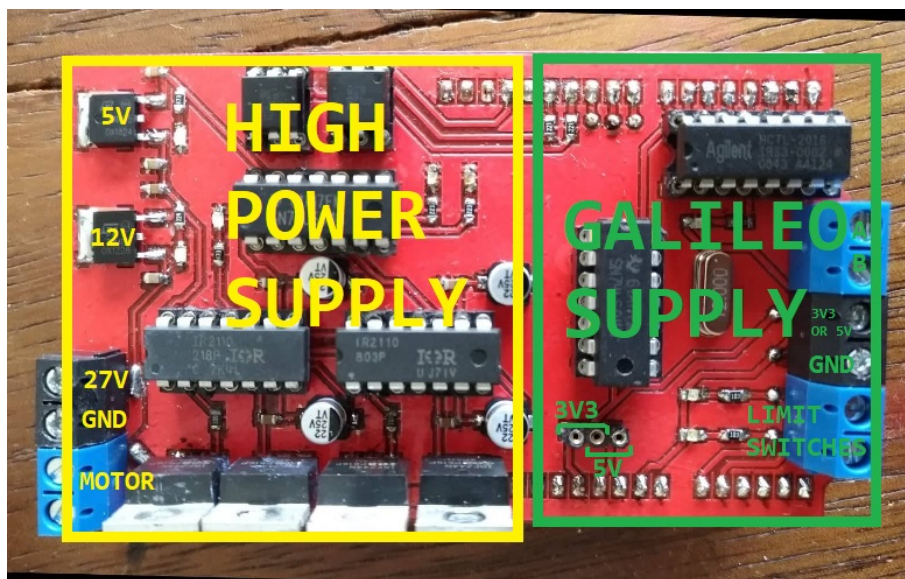


Figura 4. Separação da alimentação

4. Optoisolamento

Para que os sinais de controle da ponte H (pwm e shutdown) não tivessem sua alimentação misturada com a alimentação de potência, foram utilizados 2 optoacopladores 4N25 para isolar os dois circuitos, a imagem abaixo demonstra a separação do optoisolamento.



Figura 5. Imagem real dos optoacopladores nos sockets do shield

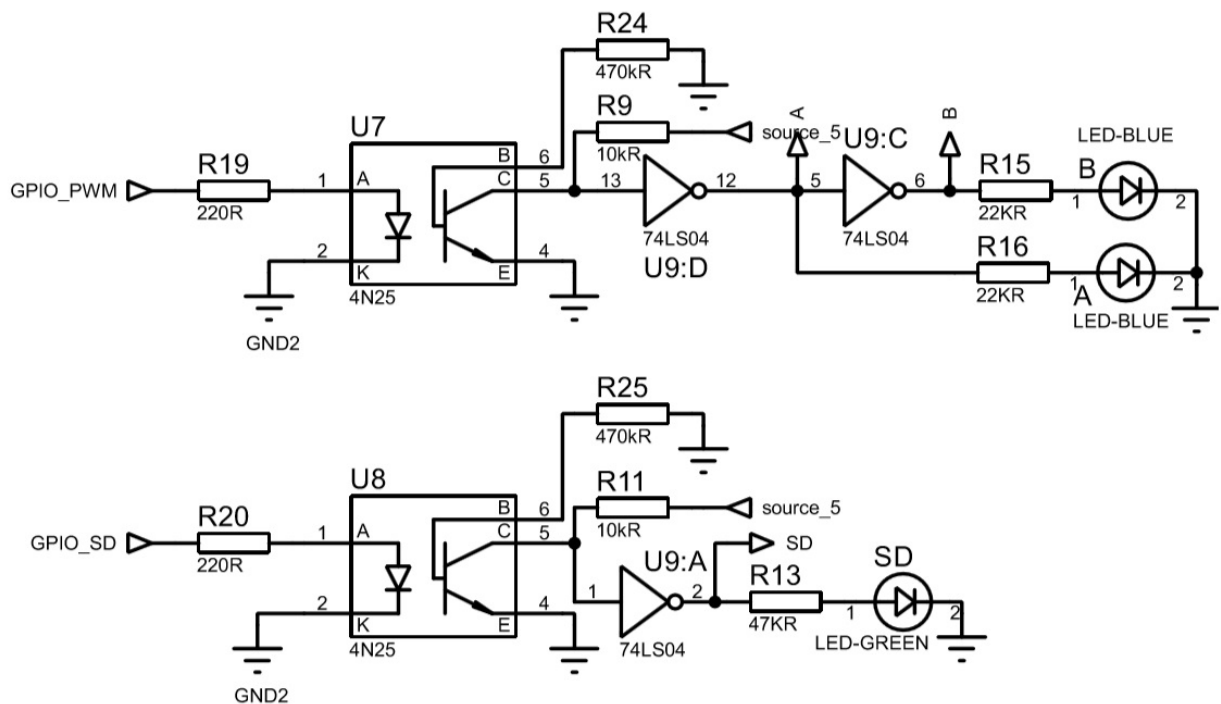


Figura 6. esquemático do circuito de opto-isolamento

5. Ponte H

Pelo fato do motor da junta Quanser ter um consumo de corrente máximo maior que 1A, o cuidado com a dissipação devido a potência dinâmica do chaveamento dos transistores de potência deve ser redobrado, para isso, os MOSFETs escolhidos para chavear a ponte H são todos do tipo NMOS, que naturalmente possuem velocidade de chaveamento maior que na família PMOS. Este modelo de ponte-H NMOS-only, possui menor potência dinâmica que uma ponte H convencional que utiliza PMOS na rede pull-up.

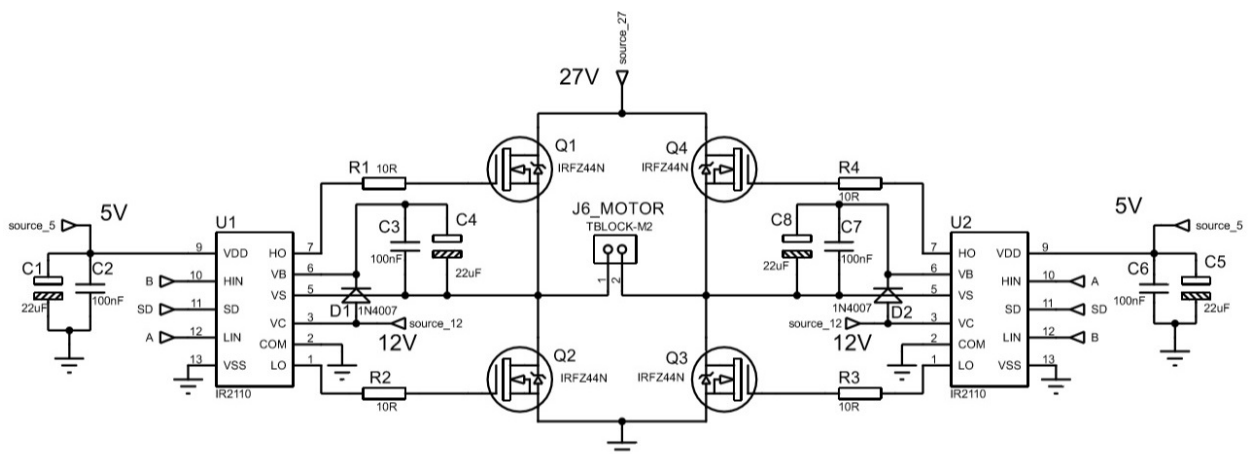


Figura 7. Ponte H NMOS

5.1. Capacitores de bootstrap

Para que um NMOS atinja a zona de saturação, a tensão V_{gs} deve ser maior que a tensão de threshold V_{th} satisfazendo as seguintes equações abaixo.

$$V_{gs} > V_{th}$$

$$V_{ds} > V_{gs} - V_{th}$$

Porém os transistores da rede pull-up(Q1 e Q4, Figura 7) em uma rede NMOS-only não acionam corretamente, visto que seus sources estão conectados nos terminais do motor, ao invés de GND. Esta tensão V_s , durante o acionamento dos gates, além de ser flutuante em alguns períodos, em outros, é uma tensão maior que o terminal de gate, não entrando na zona de saturação descrita na equação acima. Isso além de causar mal funcionamento, superaquece a rede pull-up, muitas vezes, queimando-a.

Para que o problema acima não ocorra e a tensão V_{gs} seja maior que a tensão V_{th} , é usada uma técnica de bootstrapping, onde são utilizados capacitores de 22uF(C4 e C8, Figura 7) em série com source dos MOSFETS da rede pull-up, conectado-os ao gate. A corrente de carregamento destes capacitores advém de de um regulador de 12V através de um diodo que garante a carga do capacitor, tais capacitores carregam uma tensão suficiente que somadas à tensão V_s de source, são mais que suficientes para ultrapassar o V_{th} , polarizando e saturando corretamente a rede pull-up durante o chaveamento.

Por fins de simplificação deste processo de bootstrap, o ciclo de carregamento e descarregamento destes capacitores é feito pelos CIs de bridge-driver IR2110, utilizados propriamente para isso.

6. Leitura de quadraturas do Decoder HTCL2016

O HTCL2016 é um encoder de 16 bits, mas que possui 8 pinos de saída para leitura, estes pinos são os bits do registrador/contador de quadraturas. Sua entrada de Clock é do tipo schmidt-trigger, e portanto com apenas um simples oscilador Pierce foi necessário para o correto funcionamento do decoder.

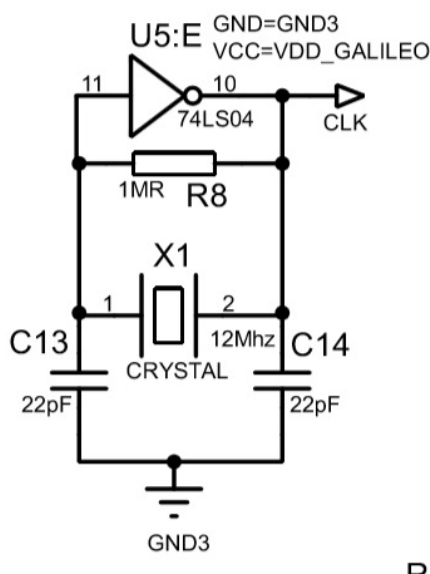


Figura 8. Esquemático do Oscilador Pierce

Além destes pinos, o decoder possui um pino de RST e um pino de Seleção(SEL) para selecionar entre o byte mais significativo ou menos significativo, porém para que a leitura seja feita corretamente, é necessário acionar na ordem correta o pino de !OE, que é responsável pelo acionamento dos buffer-tristates do registrador, permitindo que a leitura seja feita sem interferir na continua contagem das quadraturas.

Abaixo, o diagrama de pulsos de sinais que mostram a ordem correta, como também o tempo necessário entre um edge e outro, para a correta leitura.

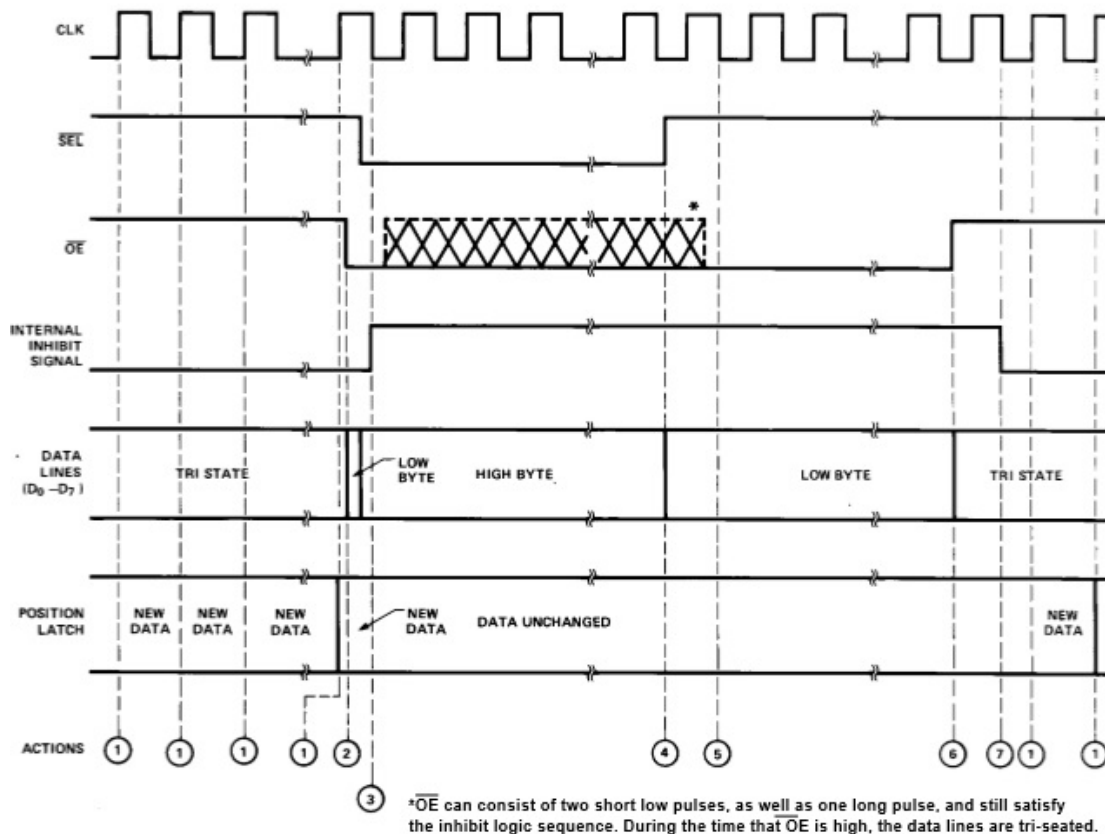


Figura 9. Diagrama de pulsos de sinais original do Datasheet

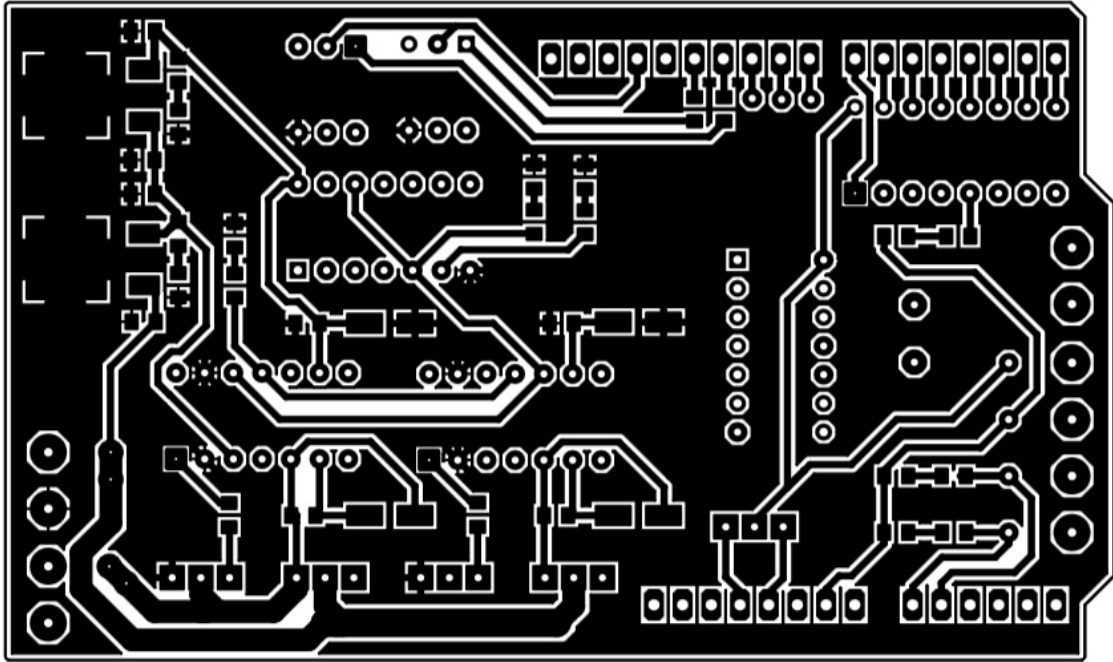


Figura 11. Top Layer

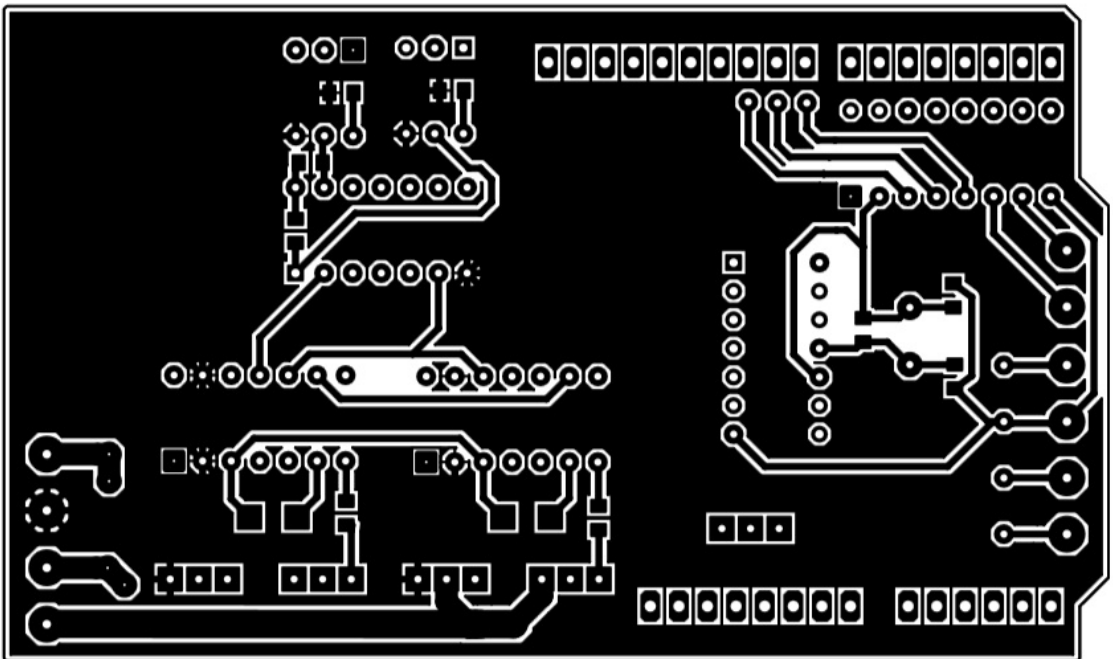


Figura 12. Bot Layer

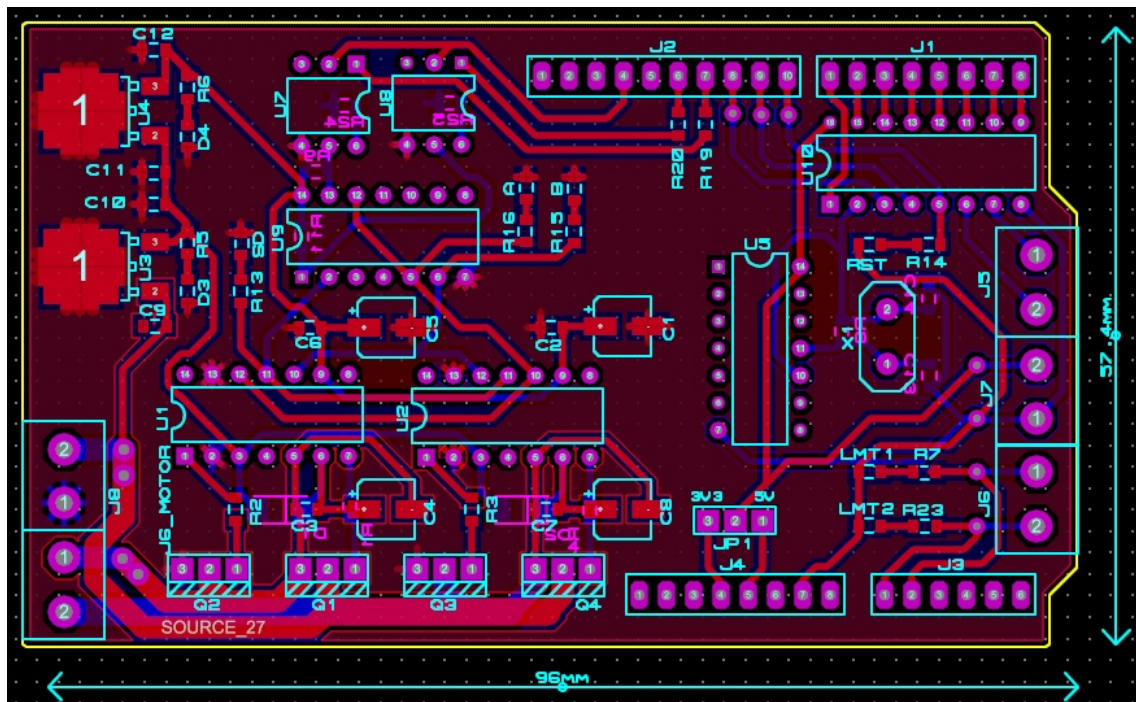


Figura 13. Top Copper

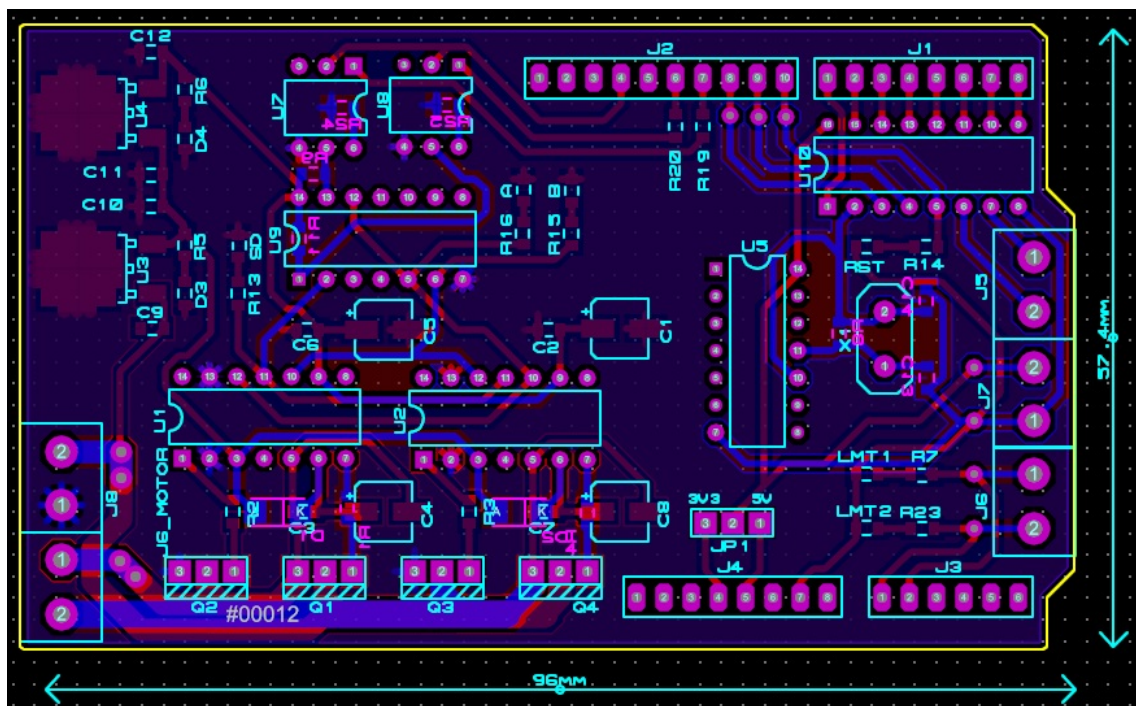


Figura 14. Bottom Copper

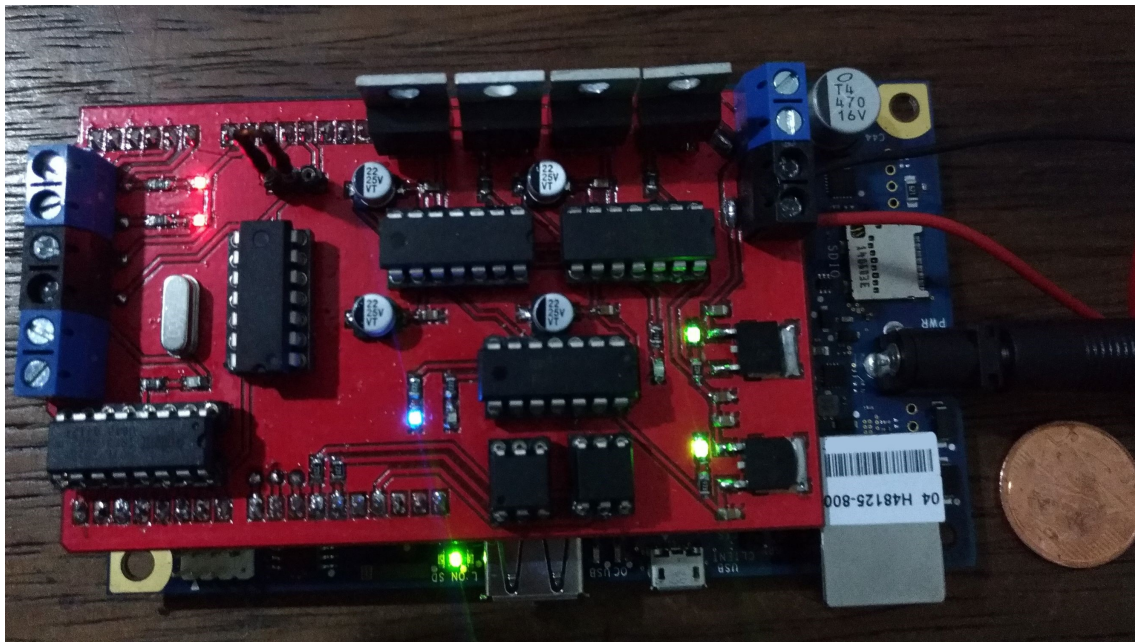


Figura 15. Placa montada, em teste de decoder, com alimentação de potência